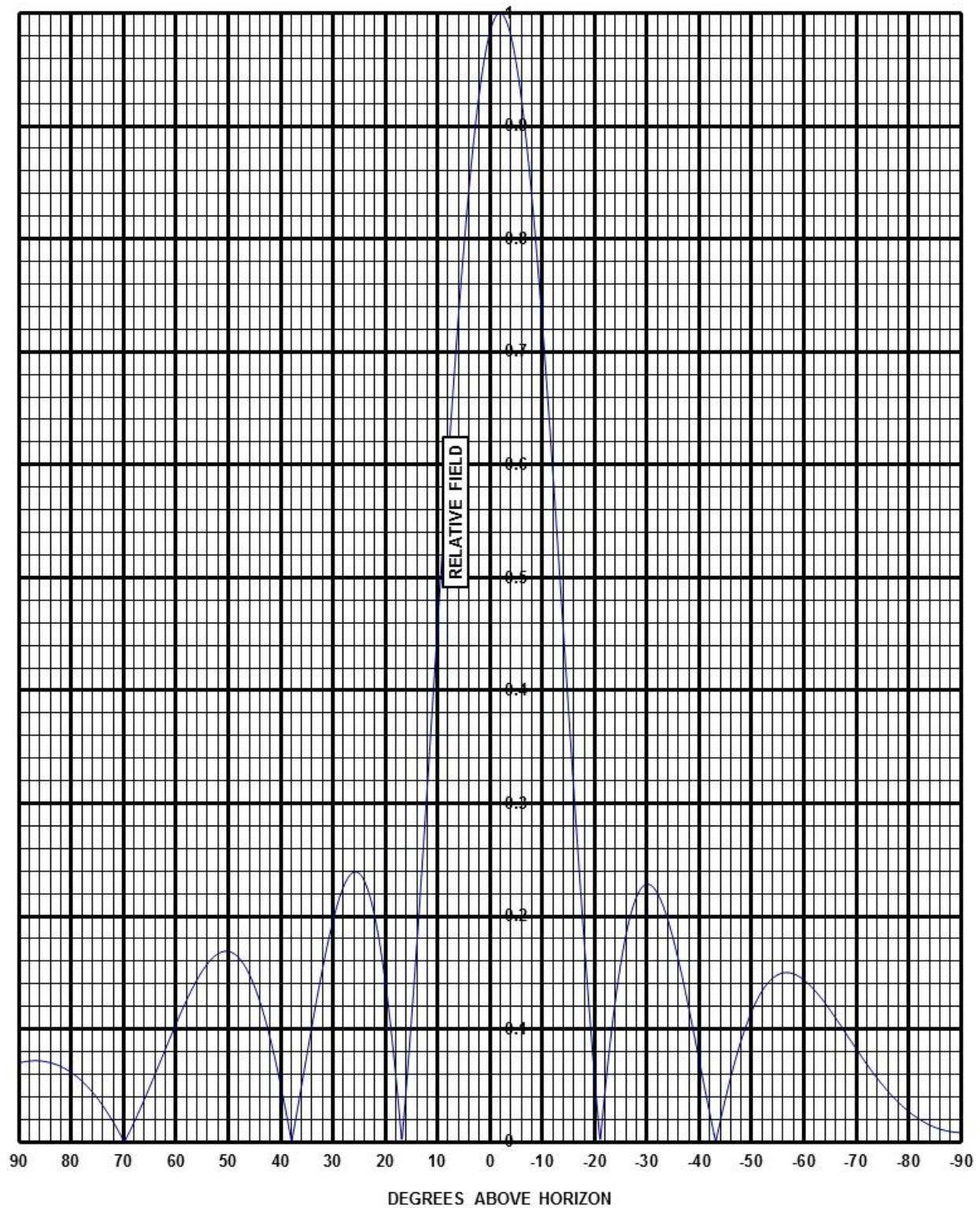
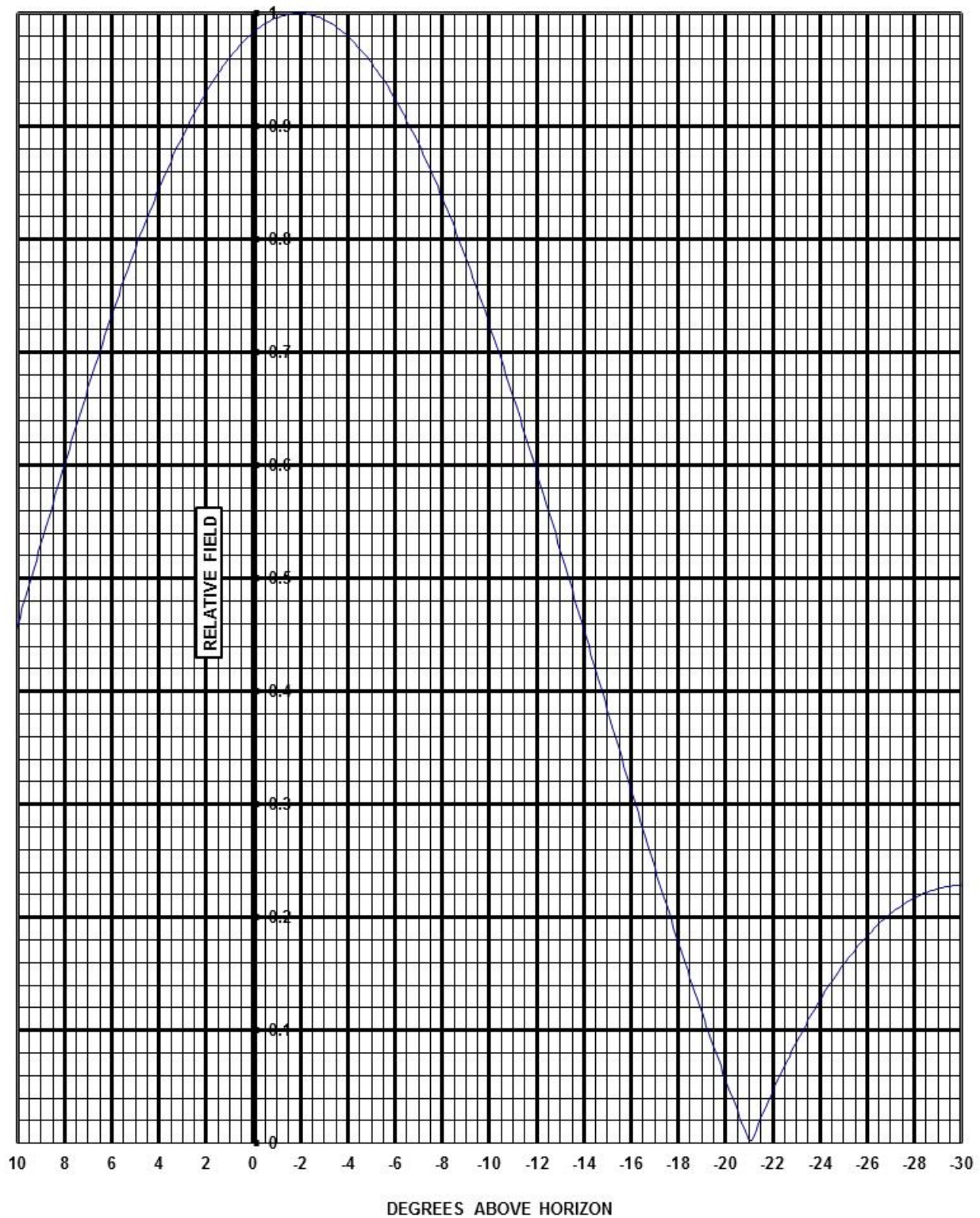


COMPUTED ELEVATION PATTERN



ELEVATION PATTERN



ELEVATION ANGLE	RELATIVE FIELD	ELEVATION ANGLE	RELATIVE FIELD	ELEVATION ANGLE	RELATIVE FIELD
10	0.391	-26	0.222	-61	0.098
9	0.469	-27	0.231	-62	0.086
8	0.547	-28	0.234	-63	0.075
7	0.623	-29	0.231	-64	0.063
6	0.694	-30	0.223	-65	0.051
5	0.761	-31	0.210	-66	0.040
4	0.822	-32	0.192	-67	0.028
3	0.875	-33	0.172	-68	0.017
2	0.919	-34	0.149	-69	0.007
1	0.955	-35	0.123	-70	0.003
0	0.980	-36	0.097	-71	0.012
-1	0.995	-37	0.069	-72	0.021
-2	1.000	-38	0.042	-73	0.029
-3	0.994	-39	0.015	-74	0.037
-4	0.977	-40	0.011	-75	0.043
-5	0.950	-41	0.036	-76	0.050
-6	0.913	-42	0.060	-77	0.055
-7	0.868	-43	0.081	-78	0.060
-8	0.814	-44	0.100	-79	0.065
-9	0.753	-45	0.117	-80	0.068
-10	0.687	-46	0.131	-81	0.072
-11	0.616	-47	0.143	-82	0.074
-12	0.542	-48	0.153	-83	0.076
-13	0.465	-49	0.159	-84	0.078
-14	0.389	-50	0.164	-85	0.079
-15	0.312	-51	0.166	-86	0.079
-16	0.238	-52	0.166	-87	0.080
-17	0.166	-53	0.164	-88	0.079
-18	0.099	-54	0.160	-89	0.079
-19	0.036	-55	0.154	-90	0.077
-20	0.021	-56	0.148		
-21	0.072	-57	0.139		
-22	0.116	-58	0.130		
-23	0.153	-59	0.120		
-24	0.183	-60	0.109		
-25	0.206				